

地球データ駆動科学の黎明期

東京大学・大学院新領域創成科学研究科

基盤科学系 複雑理工学専攻

岡田真人

日時:2025年3月25日(火) 13:05-13:40

要旨

- データ駆動科学を地球科学に導入した**地球データ駆動科学**の黎明期の研究の紹介
- 2010年の11月ごろに複雑理工学専攻の鳥海教授に依頼され、鳥海先生のPDであった桑谷氏の地殻媒質評価に関するセミナーに参加
- 計算論的視覚脳科学の運動知覚のモデルで用いた**マルコフランダムフィールド(MRF)モデル**で、地殻媒質評価できることに気付く。
- 本講演では、このような地球データ駆動科学の黎明期の経緯を紹介し、今後の**地球データ駆動科学の展望**を述べる。

内容

- 自己紹介
- 計算論的視覚的脳科学
 - David Marrの三つのレベル
 - 運動知覚の統合のモデル
- 知覚媒質評価
 - データ駆動学の三つのレベル
- 新学術領域「スパースモデリングの深化と高次元データ駆動科学の創成」
- 地球データ駆動科学の展望

自己紹介

- 大阪市立大学理学部物理学科 (1981 - 1985)
 - アモルファスシリコンの成長と構造解析
- 大阪大学大学院理学研究科(金森研) (1985 – 1987)
 - 希土類元素の光励起スペクトルの理論
- 三菱電機 (1987 - 1989)
 - 化合物半導体(半導体レーザー)の結晶成長
- 大阪大学大学院基礎工学研究科生物工学(福島研) (1989 - 1996)
 - 畳み込み深層ニューラルネット
 - 情報統計力学(ベイズ推論と統計力学の数理的等価性)
- JST ERATO 川人学習動態脳プロジェクト (1996 - 2001)
 - 計算論的神経科学
- 理化学研究所 脳科学総合研究センタ(甘利T) (2001 - 04/06)
 - ベイズ推論, 機械学習, データ駆動型科学
- 東京大学・大学院新領域創成科学研究科 複雑理工学専攻
 - データ駆動科学 (2004/07 –)

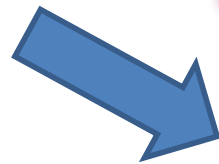
内容

- 自己紹介
- 計算論的視覚的脳科学
 - David Marrの三つのレベル
 - 運動知覚の統合のモデル
- 知覚媒質評価
 - データ駆動学の三つのレベル
- 新学術領域「スパースモデリングの深化と高次元データ駆動科学の創成」
- 地球データ駆動科学の展望

計算論的神経科学

3次元視覚世界の再構成
(David Marr, 1982)

3次元視覚世界

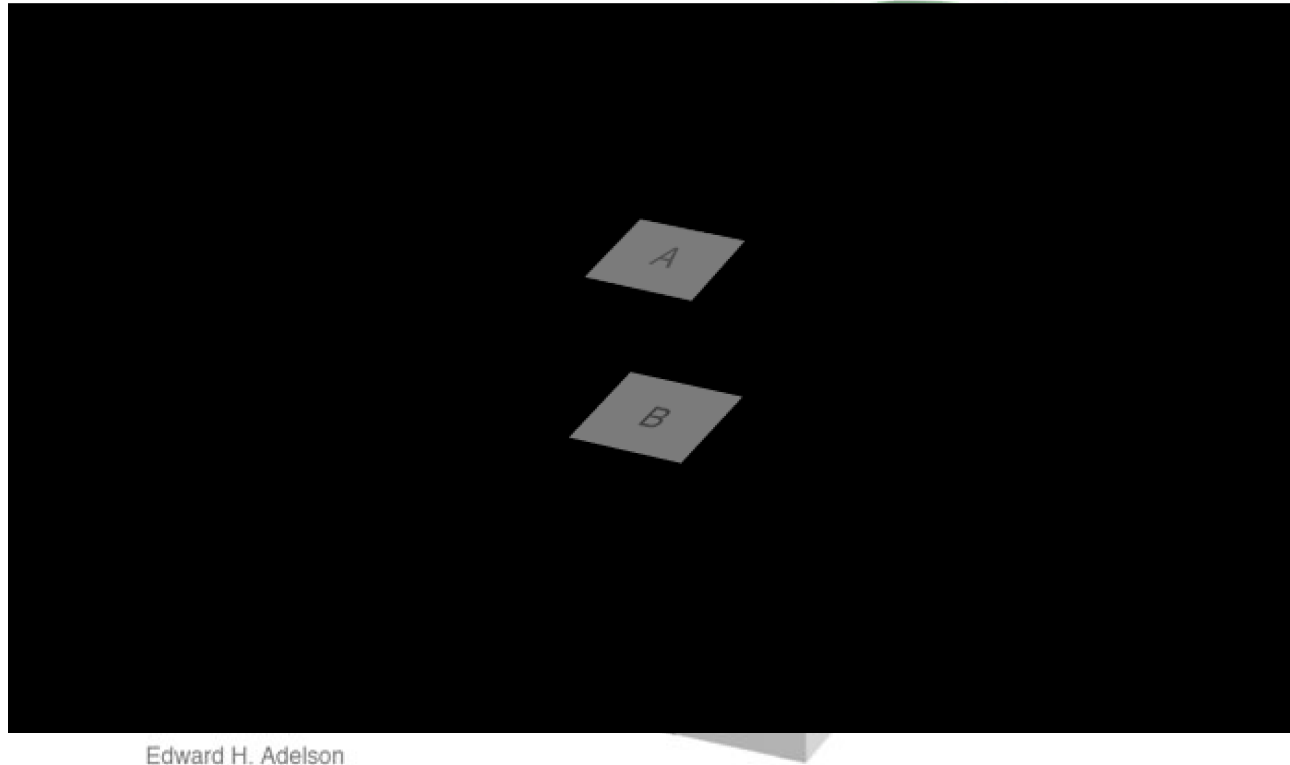


2次元網膜



3次元再構成のキュー
両眼視差
陰影からの構造復元
運動からの構造復元
遮蔽

岡田研究室 脳の物理学を創る



陰影からの構造復元

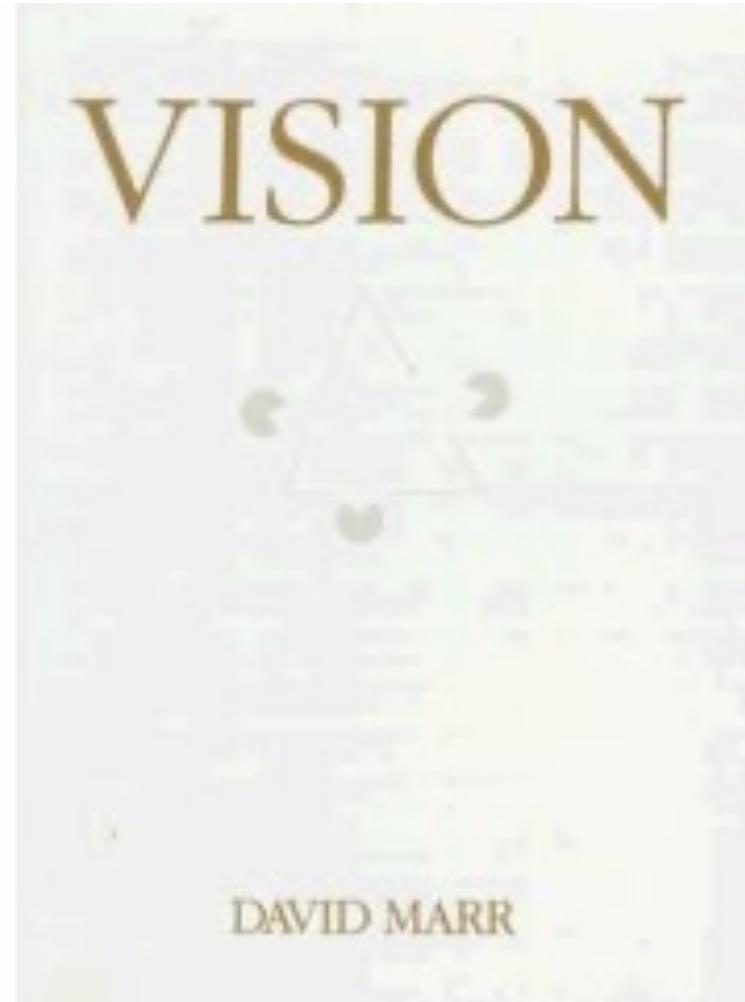
視覚現象を**数学**的に解明 (3次元世界の再構成)し,
脳でどのような形で(**生物学**的に)実行されているかを探る

計算論的神經科学

Computational Neuroscience



David Marr (1945-1980)



Vision (1982)

David Marrの三つのレベル

計算理論

計算の目的とその適切性を議論し、実行可能な方法の論理を構築

表現・アルゴリズム

計算理論の実行方法. 特にその入力と出力の表現と変換のためのアルゴリズム

ハードウェア実装

表現とアルゴリズムの物理的な実現
ニューラルネットワーク

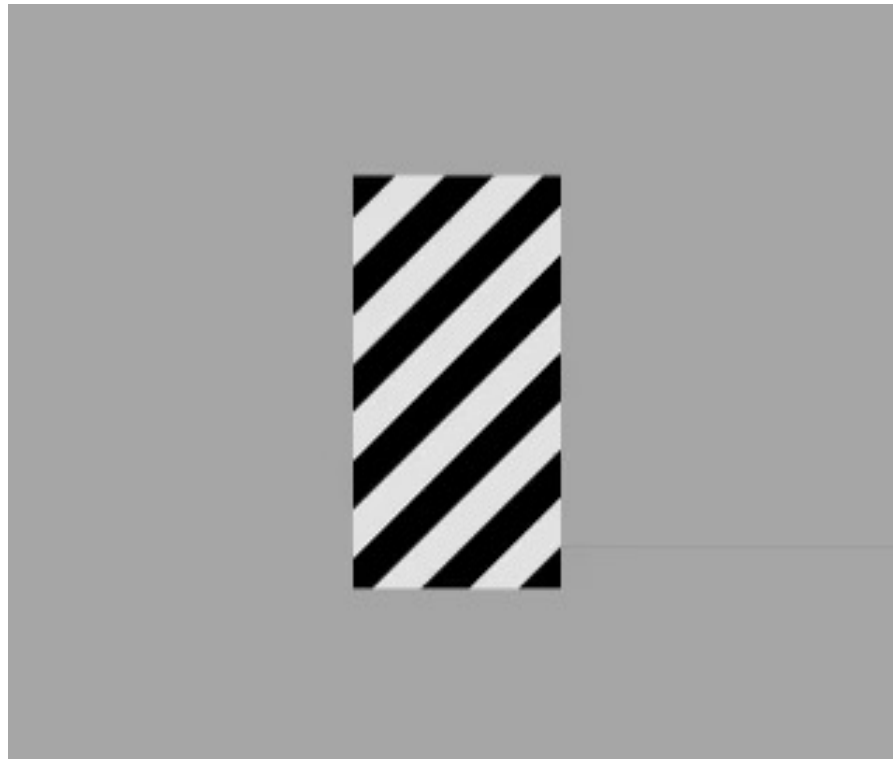
Vision: A Computational Investigation into the Human Representation and Processing of Visual Information, MIT Press, 1982.

Okada, Nishina and Kawato
“The neural computation of the
aperture problem: an iterative
process”,
NeuroReport, 14(14), 1767-1771,
(2003)

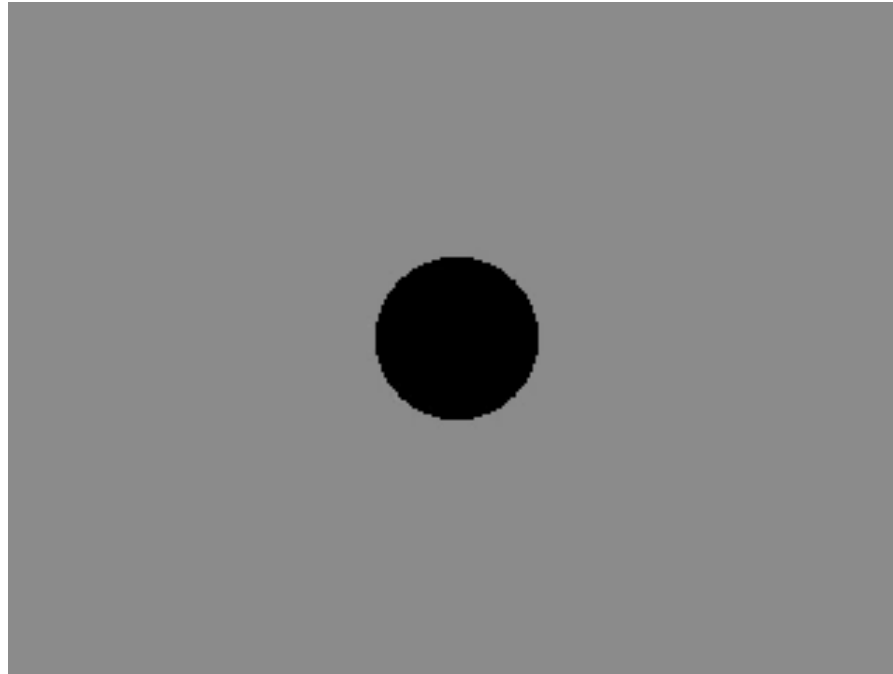
バーバーポール



真ん中の部分の動きが変わる



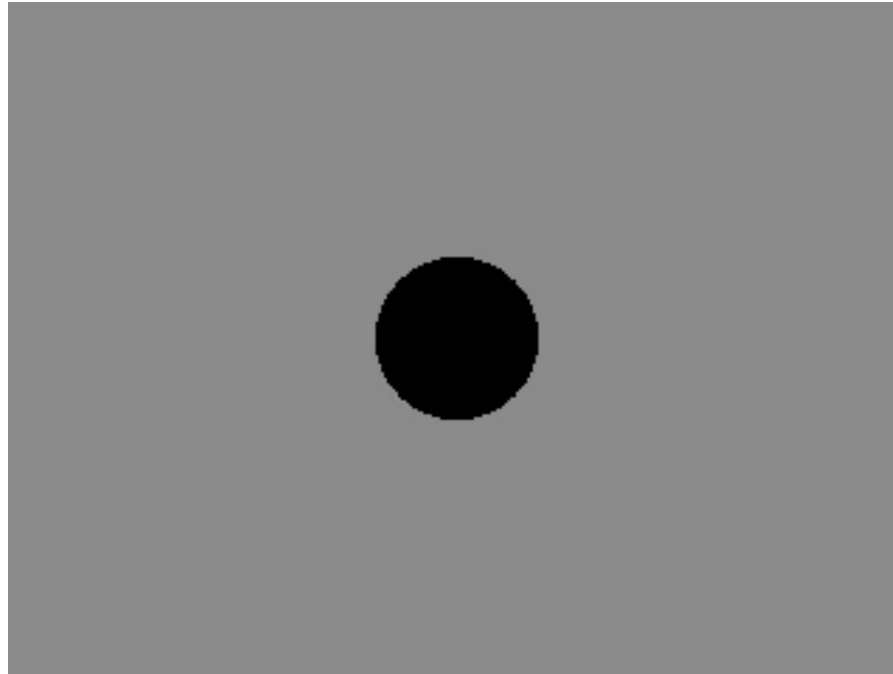
小窓問題



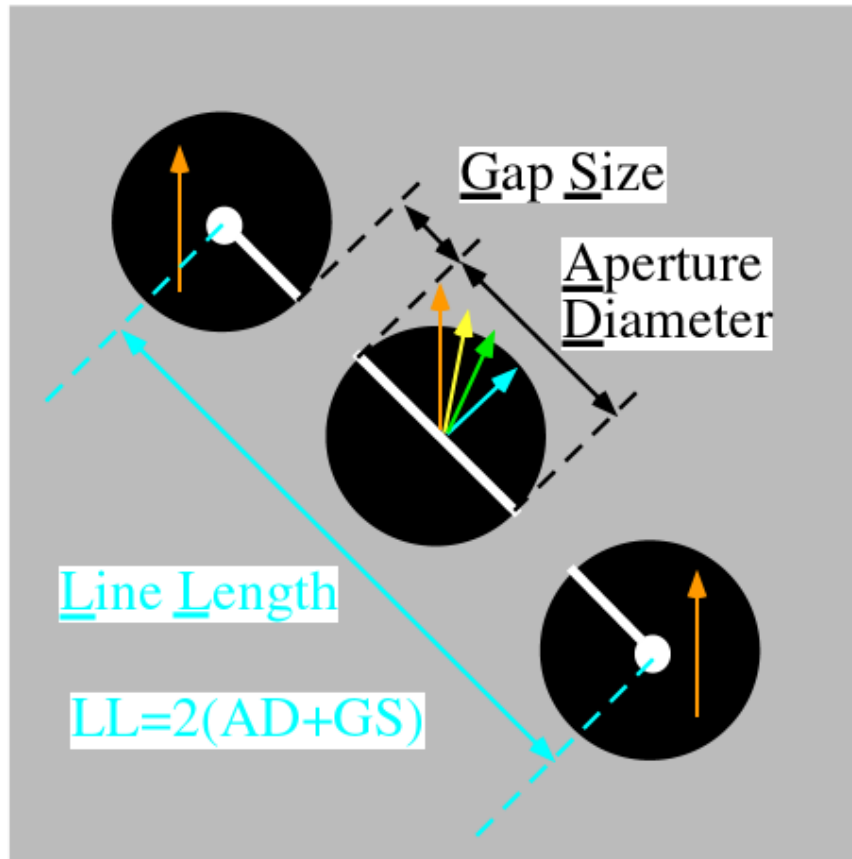
視覚計算の不良設定性(小窓問題)



小窓問題



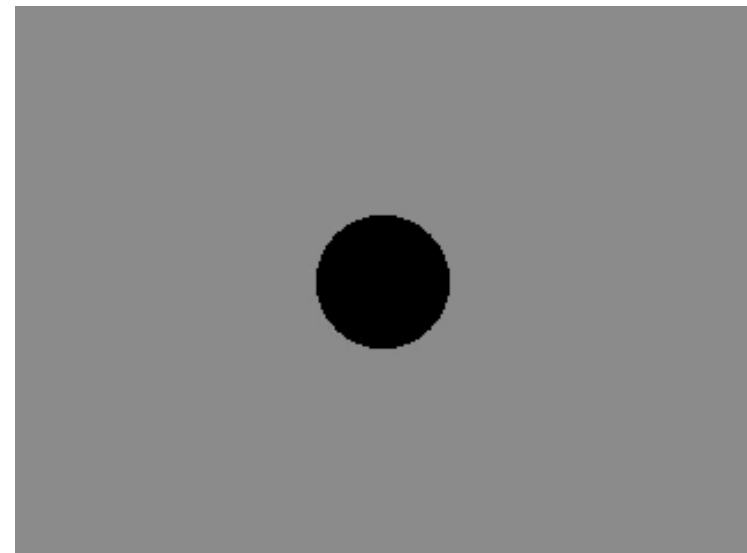
視覚刺激の曖昧性から情報統合の必要性



Motion direction

45 60 75 90
(degree)

小窓から見える三本線分は、
まるで一本の線分の一部で
あるように見える
→離れた視覚情報の統合
離れていても近くの確実な情報
を利用する
→近い情報が神経場上でも近い
と統合に用いやすい



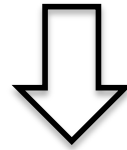
Hildreth model

$$f(\{\mathbf{V}(s)\}) = \int_{I_v} ds \left(\mathbf{V}(s) \cdot \mathbf{N}(s) - V^N(s) \right)^2 \\ + \lambda_1 \int ds \left(\frac{\partial}{\partial s} \mathbf{V}(s) \right)^2$$

- $\mathbf{N}(s)$: Normal vector at coordinate s
- $\mathbf{V}(s)$: Velocity vector estimate at coordinate s
- $V^N(s)$: Observed value of the normal component of the velocity vector at coordinate s
- λ_1 : Regularization parameter

Bayesian inference

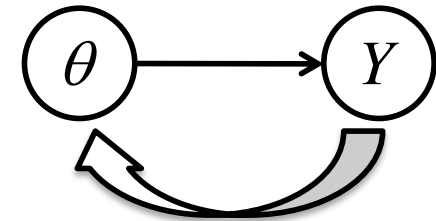
$$p(Y, \theta) = \underline{p(Y | \theta)p(\theta) = p(\theta | Y)p(Y)}$$



Bayes' theorem

$$p(\theta | Y) = \frac{p(Y | \theta)p(\theta)}{p(Y)}$$

Generative model
(causality)



$p(\theta | Y)$: Posterior probability. The probability of the parameter θ given the data.

$p(\theta)$: Prior probability. It is necessary to set in advance. Scientific knowledge accumulated so far

Posterior probability

Prior

probability

$$p(\{\mathbf{V}(s)\}) \sim \exp\left(-\frac{\int ds \left(\frac{\partial}{\partial s} \mathbf{V}(s)\right)^2}{2\sigma^2}\right)$$

Conditional

probability

$$p(V^N(s) | \{\mathbf{V}(s)\}) \sim \exp\left(-\frac{\int ds (\mathbf{V}(s) \cdot \mathbf{N}(s) - V^N(s))^2}{2\sigma'^2}\right)$$

Posterior probability

$$p(\{\mathbf{V}(s)\} | V^N(s)) \sim p(V^N(s) | \{\mathbf{V}(s)\}) p(\{\mathbf{V}(s)\})$$

Cost function

Logarithm of posterior probability and cost function

$$\log p\left(\{\mathbf{V}(s)\} \mid V^N(s)\right) \sim -f\left(\{\mathbf{V}(s)\}\right)$$

$$f\left(\{\mathbf{V}(s)\}\right) = \int ds \left(\mathbf{V}(s) \cdot \mathbf{N}(s) - V^N(s) \right)^2$$

$$+ \frac{\sigma^2}{\sigma'^2} \int ds \left(\frac{\partial}{\partial s} \mathbf{V}(s) \right)^2$$

Proposed model

$$f(\{\mathbf{V}(s), b(s)\}) = \int ds \left(\mathbf{V}(s) \cdot \mathbf{N}(s) - V^N(s) \right)^2 \\ + \lambda_1 \int_{I_V + I_O} ds b(s) \left(\frac{\partial}{\partial s} \mathbf{V}(s) \right)^2 + \lambda_2 \int_{I_V + I_O} ds \left(\frac{\partial}{\partial s} b(s) \right)^2$$

- $\mathbf{N}(s)$: Normal vector at coordinate s
- $\mathbf{V}(s)$: Velocity vector estimate at coordinate s
- $V^N(s)$: Observed value of the normal component of the velocity vector at coordinate s
- λ_V, λ_b : Regularization parameters
- $b(s)$: Binding signal
- I_V : Visible area, I_O : occluded area

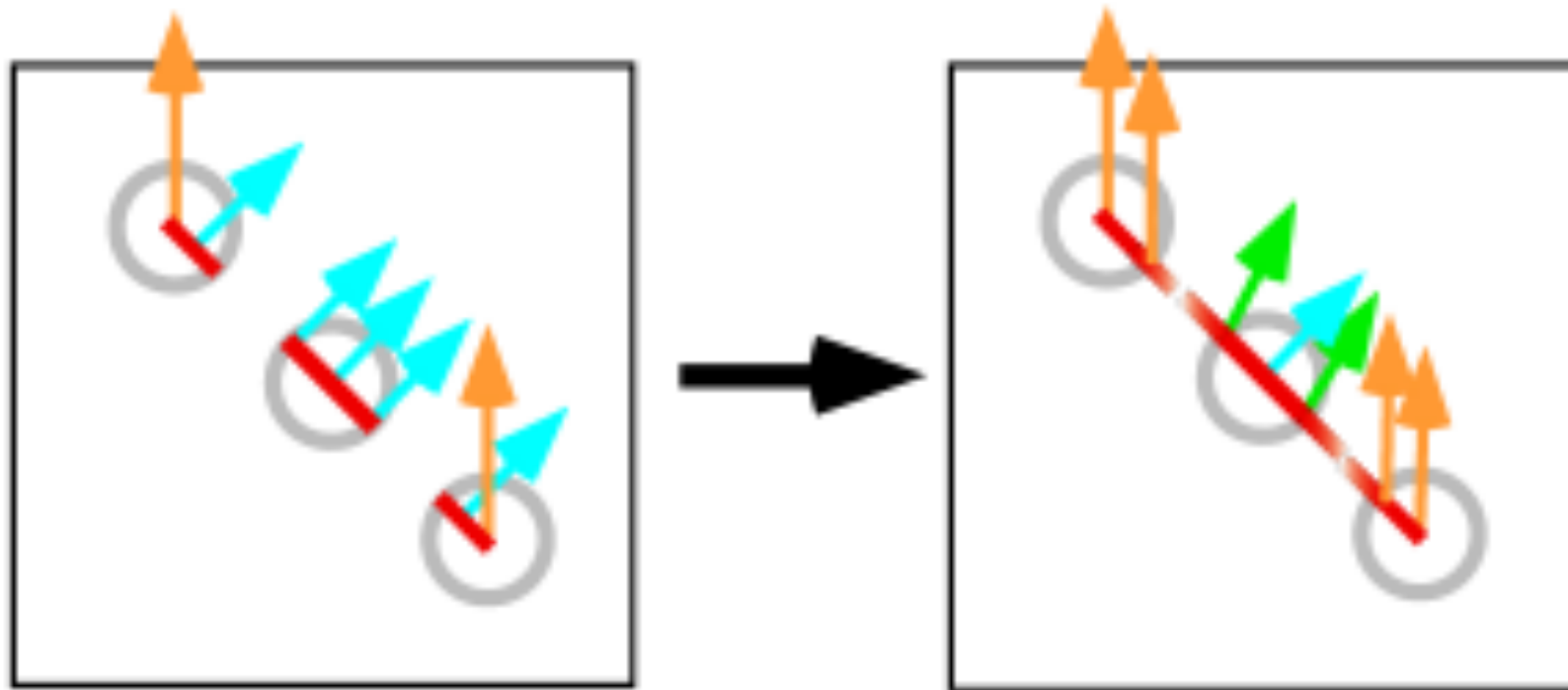
Relaxation computation

Steepest descent method

$$\begin{aligned}
 \frac{\partial \mathbf{V}(s)}{\partial t} &= -\frac{\partial}{\partial \mathbf{V}(s)} f(\{\mathbf{V}(s), b(s)\}) \\
 &= \lambda_1 b(s) \frac{\partial^2}{\partial s^2} \mathbf{V}(s) - \left(\mathbf{V}(s) \cdot \mathbf{N}(s) - V^N(s) \right) \quad s \in I_V \\
 &= \lambda_1 b(s) \frac{\partial^2}{\partial s^2} \mathbf{V}(s) \quad s \in I_O
 \end{aligned}$$

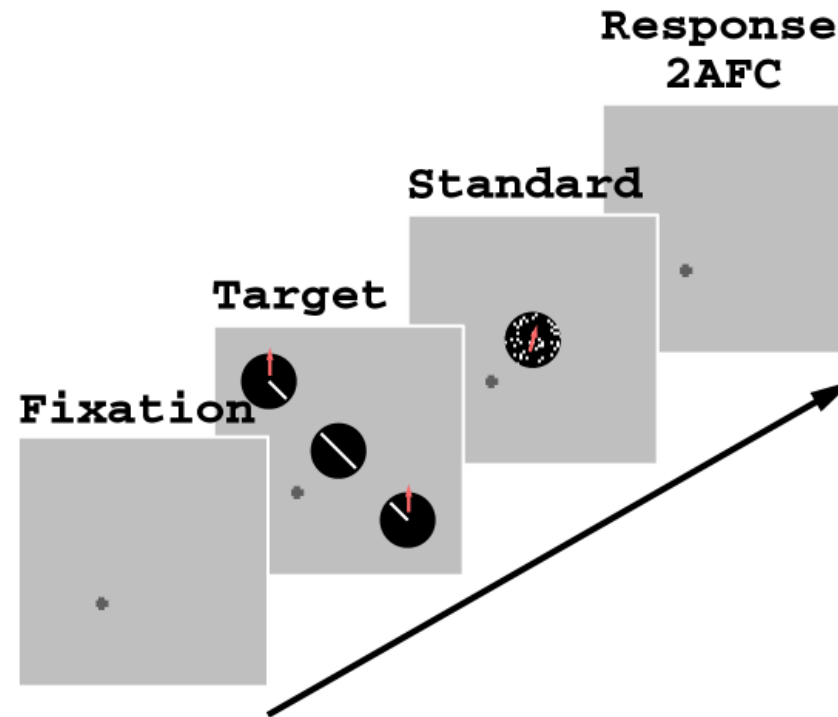
$$\begin{aligned}
 \frac{\partial b(s)}{\partial t} &= -\frac{\partial}{\partial b(s)} f(\{\mathbf{V}(s), b(s)\}) \\
 &= \lambda_2 \frac{\partial^2}{\partial s^2} b(s) - \lambda_1 \left(\frac{\partial}{\partial s} \mathbf{V}(s) \right)^2
 \end{aligned}$$

Model Target stimulus



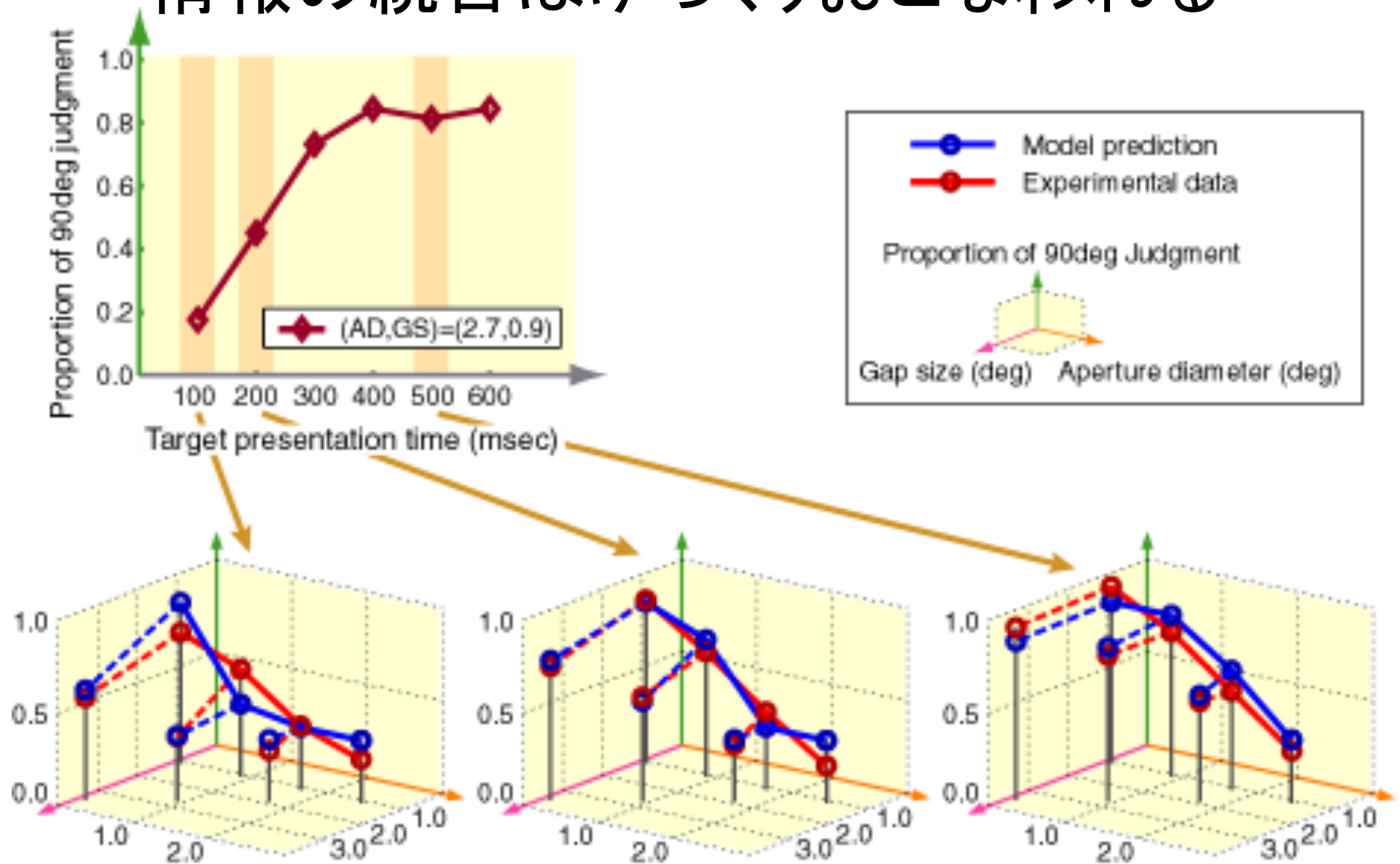
Initial state

実験1



- 呈示時間=100, 200, 300, 400, 500, 600msec
- 被験者はStandardのランダムドットの動きに比べて, 90度に近いか遠いかを二者選択で答える(強制二者選択課題).

情報の統合はゆっくりおこなわれる



(Okada, Nishina and Kawato, 2003)

内容

- 自己紹介
- 計算論的視覚的脳科学
 - David Marrの三つのレベル
 - 運動知覚の統合のモデル
- 知覚媒質評価
 - データ駆動学の三つのレベル
- 新学術領域「スパースモデリングの深化と高次元データ駆動科学の創成」
- 地球データ駆動科学の展望

Kuwatani, Nagata, Okada and
Toriumi

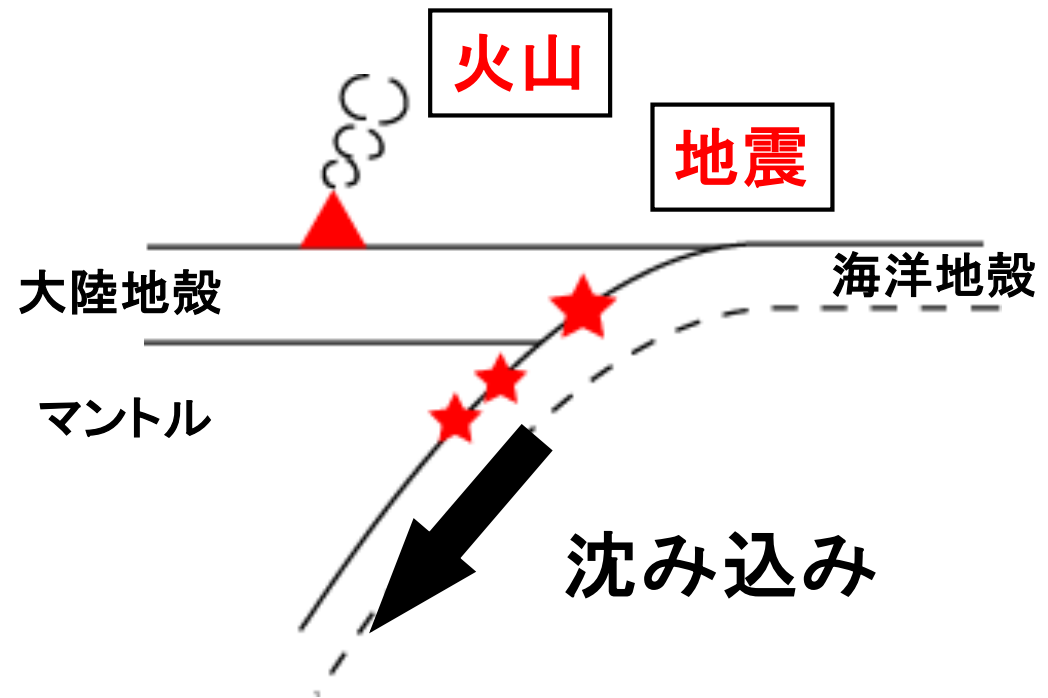
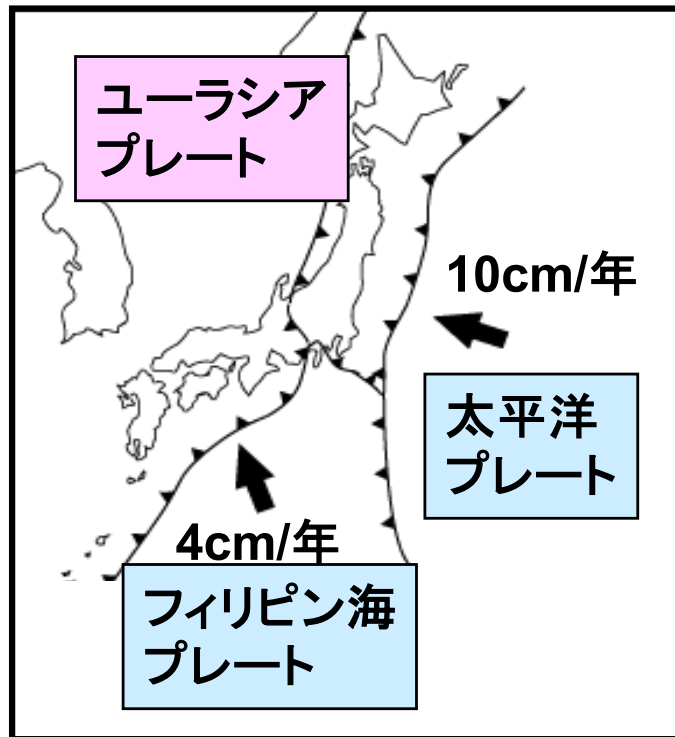
“Markov random field modeling for
mapping geofluid distributions from
seismic velocity structures”

Earth, Planets and Space, 66(5), 1-9,
(2014)

目次

- はじめに
 - 地震波速度と流体
- Markov random field (MRF) モデル
- 人工データテスト
- 自然データに適用
- 展望とまとめ

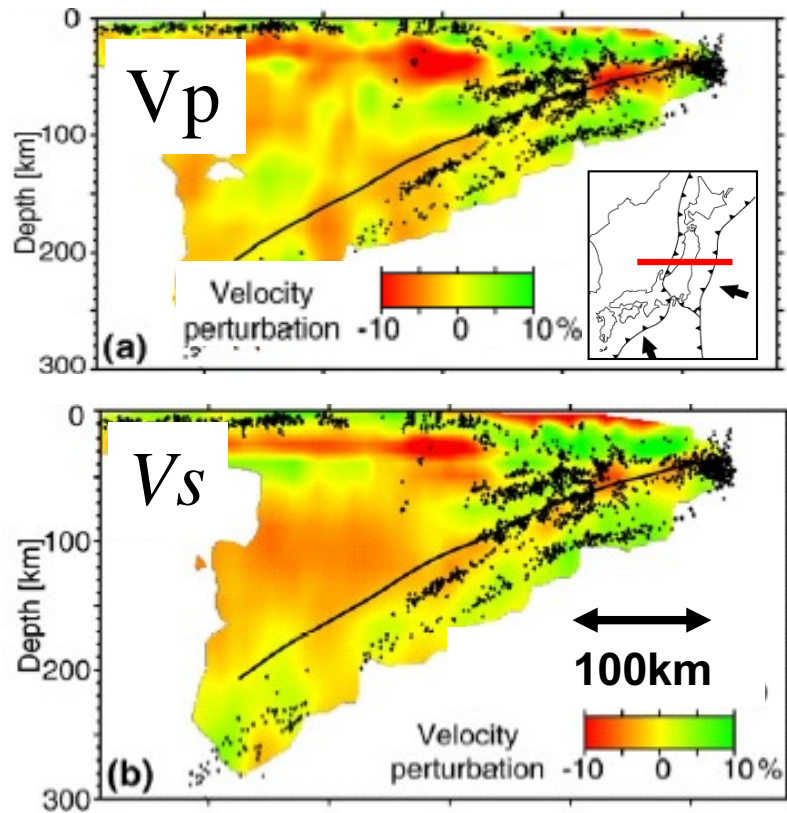
沈み込み帯



沈み込み帯のダイナミクスの理解には、
地下深部の物質科学的な理解が不可欠.

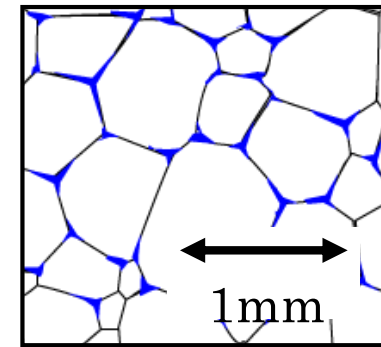
地殻媒質の評価

地球物理学観測データ



地震波速度 (V_p, V_s)

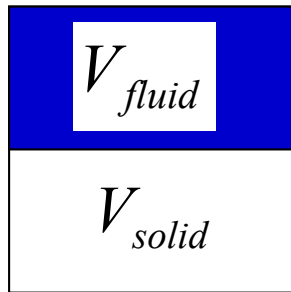
地質学的物質学的情報



岩石の種類 (z)
流体の種類 (w)
流体の量 (Φ)
流体の形状 (α)

流体の量と形状

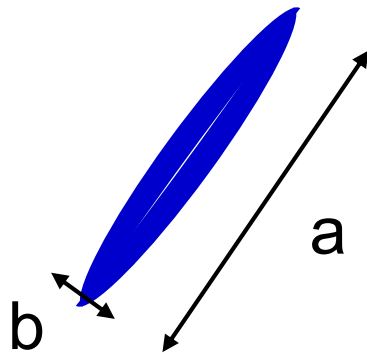
ϕ : 空隙率(ポロシティ)



$$\phi \equiv \frac{V_{fluid}}{V_{solid} + V_{fluid}}$$

データ範囲: 0 - 1

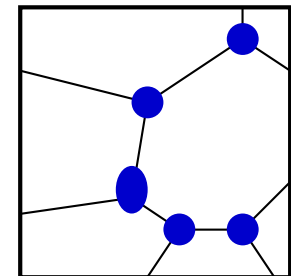
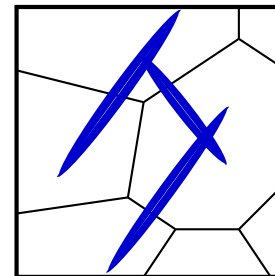
α : 空隙の形状(アスペクト比)



$$\alpha \equiv \frac{b}{a}$$

データ範囲:

0 (クラック状) - 1 (球状)



地震波速度と流体の関係

岩石の種類(z), 流体の種類(w), 温度(T)を一定とすると,

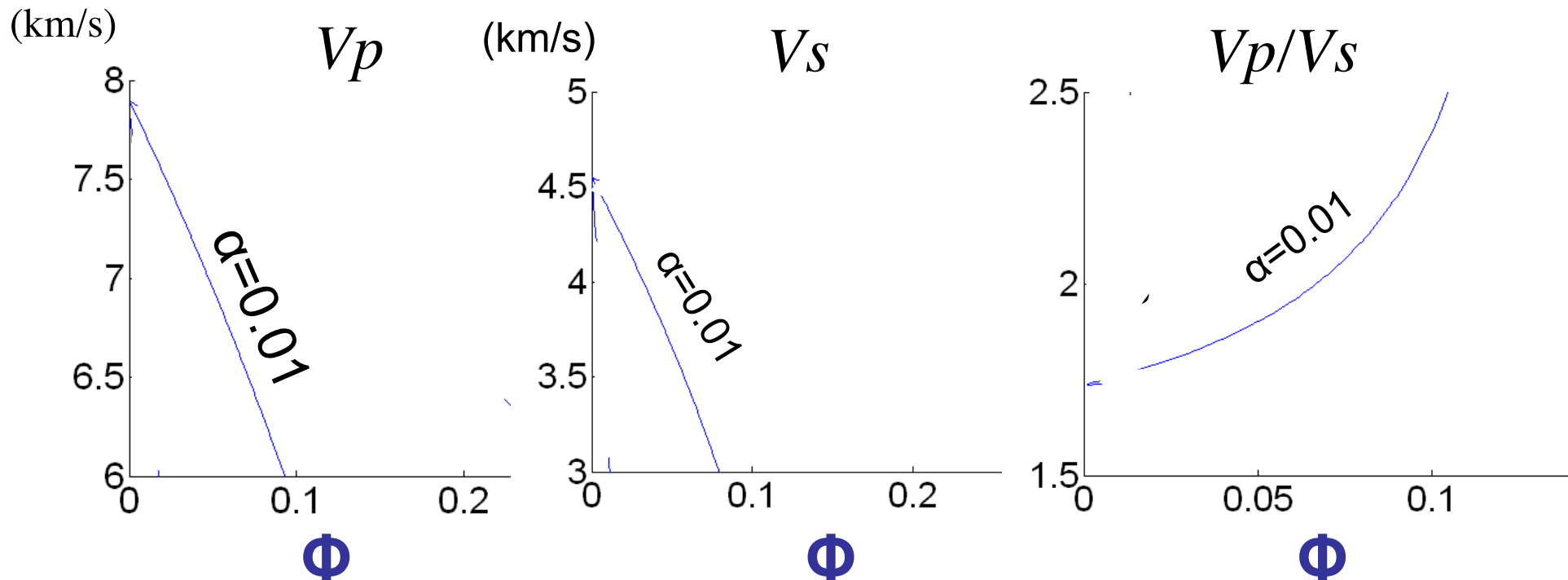
$$V_p = f_p(\phi, \alpha)$$

$$V_s = f_s(\phi, \alpha)$$

ϕ : 空隙率(ポロシティ),

α : 空隙の形状(アスペクト比)

Takei 2002



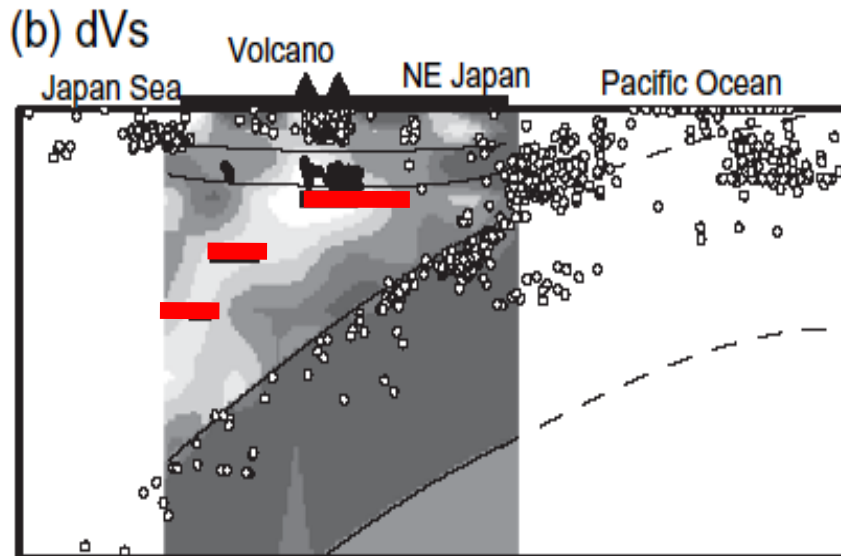
カンラン岩 (V_{p0}, V_{s0})=(7.9km/s, 4.5km/s), メルト

先行研究

Nakajima, Takei, Hasegawa (2005)

地震波速度データ(V_p, V_s)から逆関数(Takei, 2002)を使って流体量・形状(ϕ, α)を決定.

各深さの観測値の平均値を使用.



深さ	流体	$\phi(\%)$	α
40km	melt	1-2	~ 0.03
65km	melt	~ 0.05	~ 0.001
90km	melt	3-6	~ 0.1

本研究

問題点

1. 観測データの誤差・不確定性
2. 観測変数 < 未知変数

目的

Markov Random Field (MRF)モデルを用いて、地震波速度構造(V_p, V_s)から流体分布(ϕ, α)を推定する。

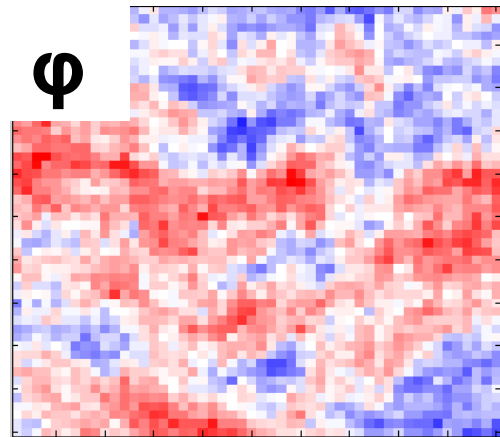
MRFモデル: 画像解析によく用いられるベイズ統計的手法

ノイズを含んだ観測量
不定問題

物理量の**ある程度の連続性**を仮定
することで最も確からしい推定を行う。

MRFモデル

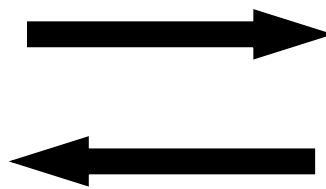
知りたい物理量(ϕ)
の空間分布



50 × 50

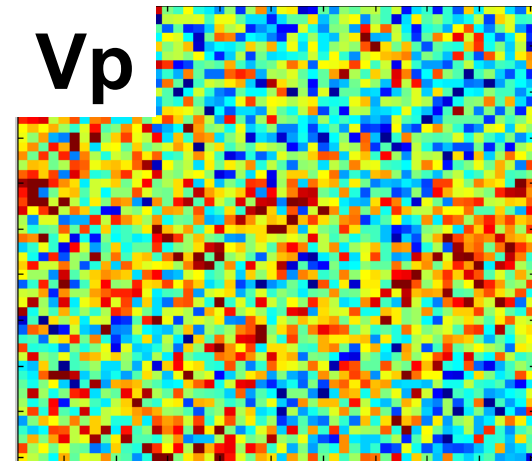
ノイズを含む観測

$$V_i = f(\phi_i) + \varepsilon_i$$



推定

観測量(V)の分布



8.0
km/s
7.0

$$E(\phi) = \sum_i (V_i - f(\phi_i))^2$$

観測量の再現性

評価関数 $E(\phi)$ を最小にする ϕ が最も確からしい ϕ

ベイズ推定

Φの事前分布を仮定

隣り合う物理量はだいたい似たような値をとる. \longrightarrow $p(\underline{\phi}) \propto \prod_i \exp\left(-\frac{\{\phi_i - \phi_{i-1}\}^2}{2\sigma_m^2}\right)$

尤度関数（生成モデル）

$$V_i = f(\phi_i) + \varepsilon_i \longrightarrow \underline{p(V_i | \phi_i)} = \frac{1}{\sqrt{2\pi\sigma_n}} \exp\left(-\frac{(V_i - f(\phi_i))^2}{2\sigma_n^2}\right)$$

事後確率 $p(\phi | V)$ はベイズの定理により,

$$\underline{p(\phi | V)} = \frac{\underline{p(V | \phi)} \underline{p(\phi)}}{p(V)}$$

$p(\phi | V)$ を最大にするΦを推定値とする. (MAP推定)

ベイズ推定：評価関数の導出

$p(\phi | V)$ の最大化は $-\log p(\phi | V)$ の最小化と等しいから,

$$E(\phi) \equiv -\log p(\phi | V) = \sum (V_i - f(\phi_i))^2 + \frac{\sigma_n^2}{\sigma_m^2} \sum (\phi_{i+1} - \phi_i)^2$$

で定義される評価関数の最小化を行えばよい.

$$\lambda = \sigma_n^2 / \sigma_m^2$$

$\sigma_n^2 < \sigma_m^2 \rightarrow$ 観測値を重視する.

$\sigma_n^2 > \sigma_m^2 \rightarrow$ 物理量の連続性を重視する.

ハイパーパラメータ推定

事後確率 $p(\lambda | V)$ を最大化する λ を決定する.

ベイズの定理を用いて,

$$p(\lambda | V) = \frac{p(\lambda) \cdot p(V | \lambda)}{p(V)}$$

事後確率 $p(\lambda | V)$ の最大化は

$$F(\lambda) \equiv -\log p(\lambda | V) = -\log \int \exp(-E(\phi, \lambda)) d\phi$$

で定義される自由エネルギーの最小化を行えばよい.

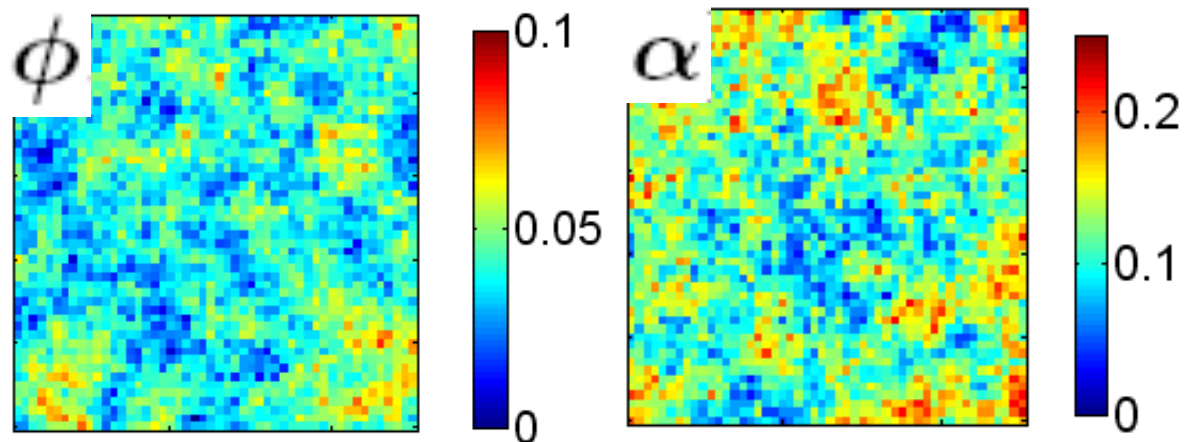


MCMC (Markov chain Monte Carlo)法を用いた最急降下法

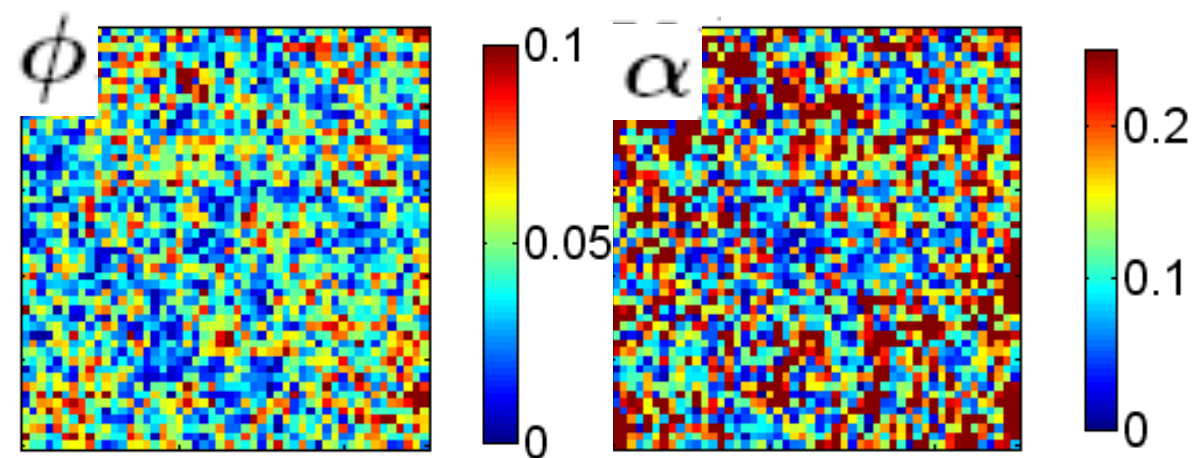
人工データの解析

人工データ

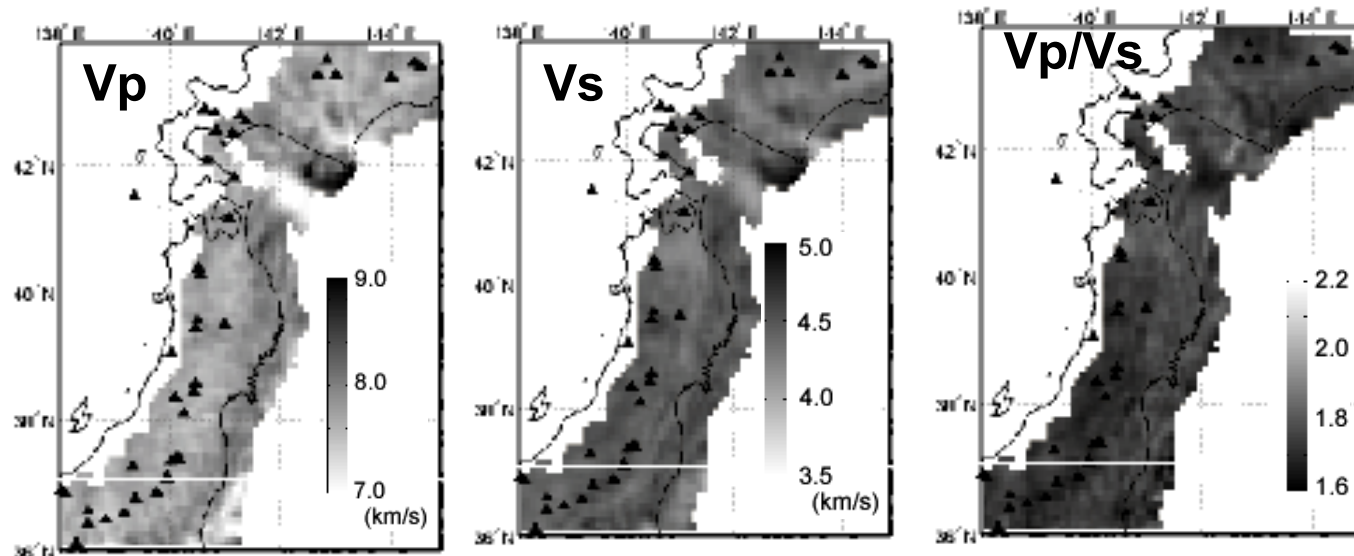
$$(\sigma_{\phi}^2, \sigma_{\alpha}^2) = (0.001, 0.0001)$$



従来手法(逆関数)



天然系への応用(Depth=50km)



Matsubara et al. 2008

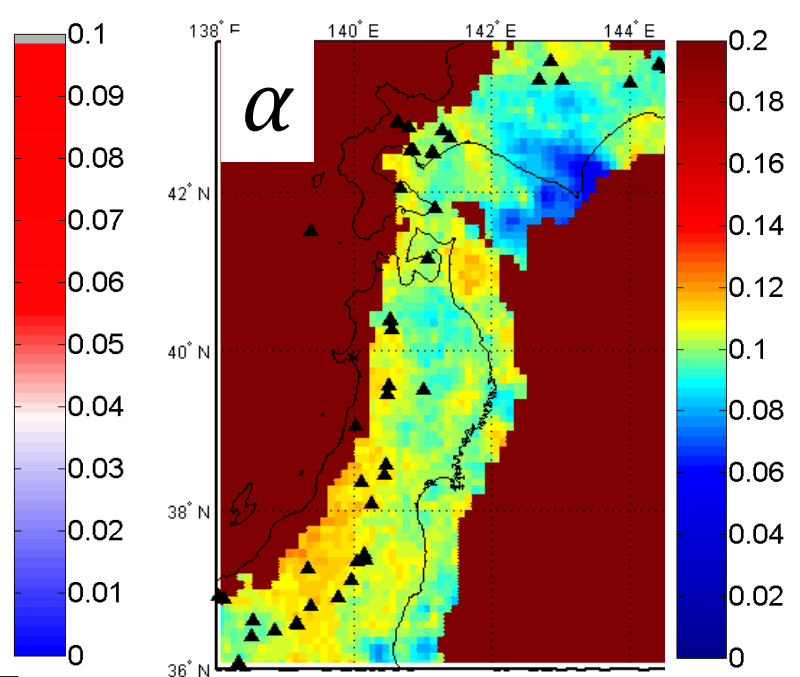
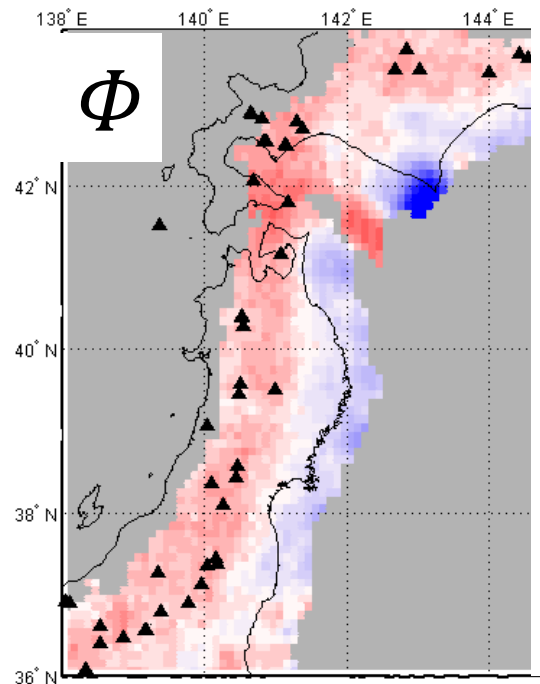
$(Vp0, Vs0) =$
 $(8.6 \text{ km/s}, 5.2 \text{ km/s})$

流体 = melt

Hyperparameter推定

$$(\sigma_{\phi}^2, \sigma_{\alpha}^2) = (0.0001, 0.0018)$$

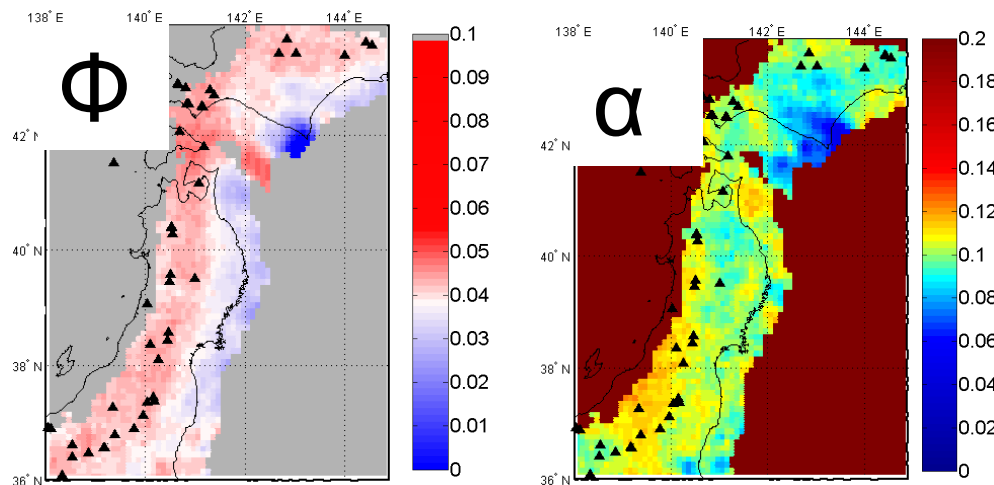
$$(\sigma_P^2, \sigma_S^2) = (0.052, 0.014)$$



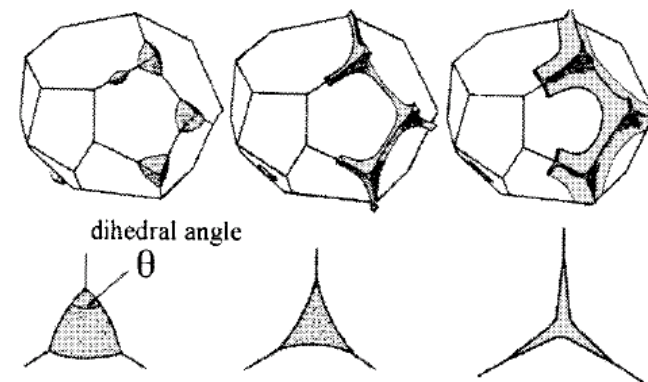
地球物理学的インプリケーション

- 火山直下において,
 $\phi \sim 0.05 \rightarrow$ 岩石の部分融解によるマグマの生成.
アスペクト比が0.1程度 \rightarrow 組織的平衡

Depth=50km



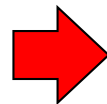
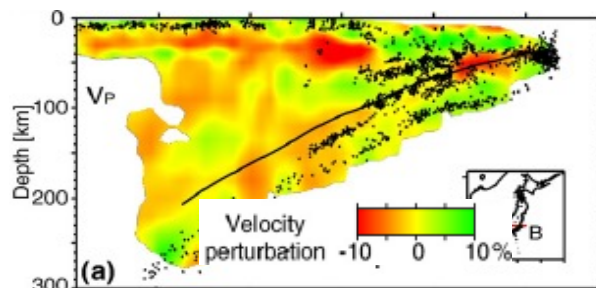
流体の存在形態



問題点と展望

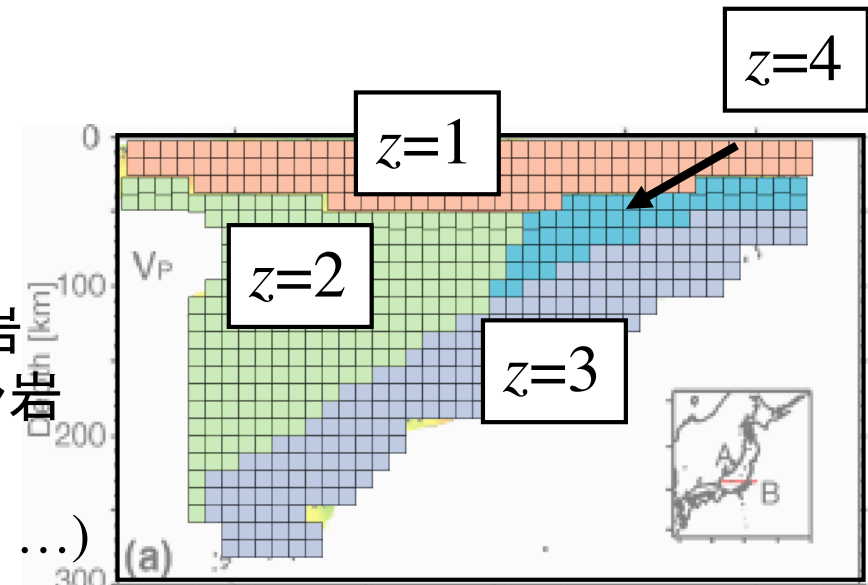
- 推定した観測ノイズの分散が大きすぎる.
→ ϕ , α 以外の物理量が必要？
- 不連続に変化する岩石の種類(z)も求めたい. → ラベルプロセスの導入

地震波速度 (V_p, V_s)



z = 岩相

- 1: カコウ岩
- 2: カンラン岩
- 3: 玄武岩
- 4: 蛇紋岩 ...)

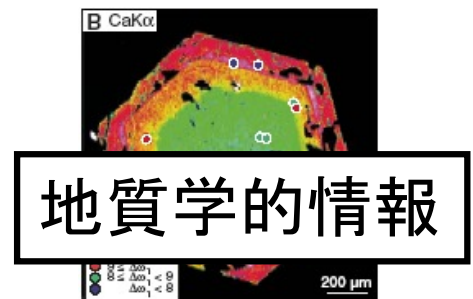
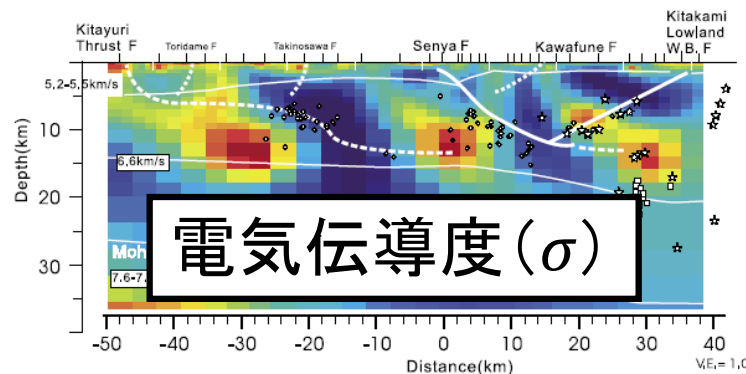
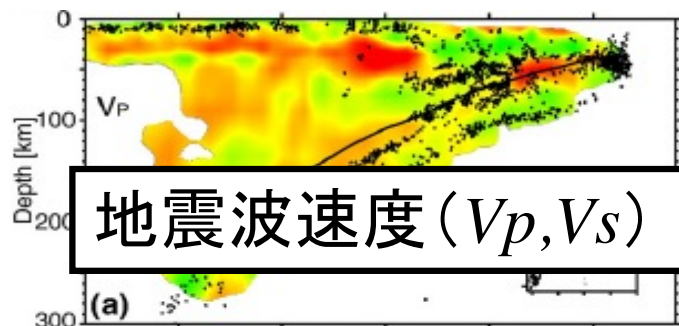


地球科学におけるベイズ推定の有効性

1. 観測変数<未知変数のときも解析可能

変数: Z (岩石の種類), W (流体の種類)
 T (温度), f (連結度) . . .

2. 異なる観測データや先験的知識を容易に導入可能



3. 不連続性の検出

内容

- 自己紹介
- 計算論的視覚的脳科学
 - David Marrの三つのレベル
 - 運動知覚の統合のモデル
- 知覚媒質評価
 - データ駆動学の三つのレベル
- 新学術領域「スパースモデリングの深化と高次元データ駆動科学の創成」
- 地球データ駆動科学の展望

データ駆動科学の三つのレベル (2016)

計算理論(対象の科学, 計測科学)

データ解析の目的とその適切性を議論し, 実行可能な方法の論理(方略)を構築

モデリング(統計学, 理論物理学, 数理科学)

計算理論のレベルの目的, 適切さ, 方略を元に, 系をモデル化し, 計算理論を数学的に表現する

表現・アルゴリズム(統計学, 機械学習, 計算科学)

モデリングの結果得られた計算問題を, 実行するためのアルゴリズムを議論する.

Igarashi, Nagata, Kuwatani, Omori, Nakanishi-Ohno and M. Okada, “Three Levels of Data-Driven Science”, *Journal of Physics: Conference Series*, 699, 012001, 2016.

内容

- 自己紹介
- 計算論的視覚的脳科学
 - David Marrの三つのレベル
 - 運動知覚の統合のモデル
- 知覚媒質評価
 - データ駆動学の三つのレベル
- 新学術領域「スパースモデリングの深化と高次元データ駆動科学の創成」
- 地球データ駆動科学の展望

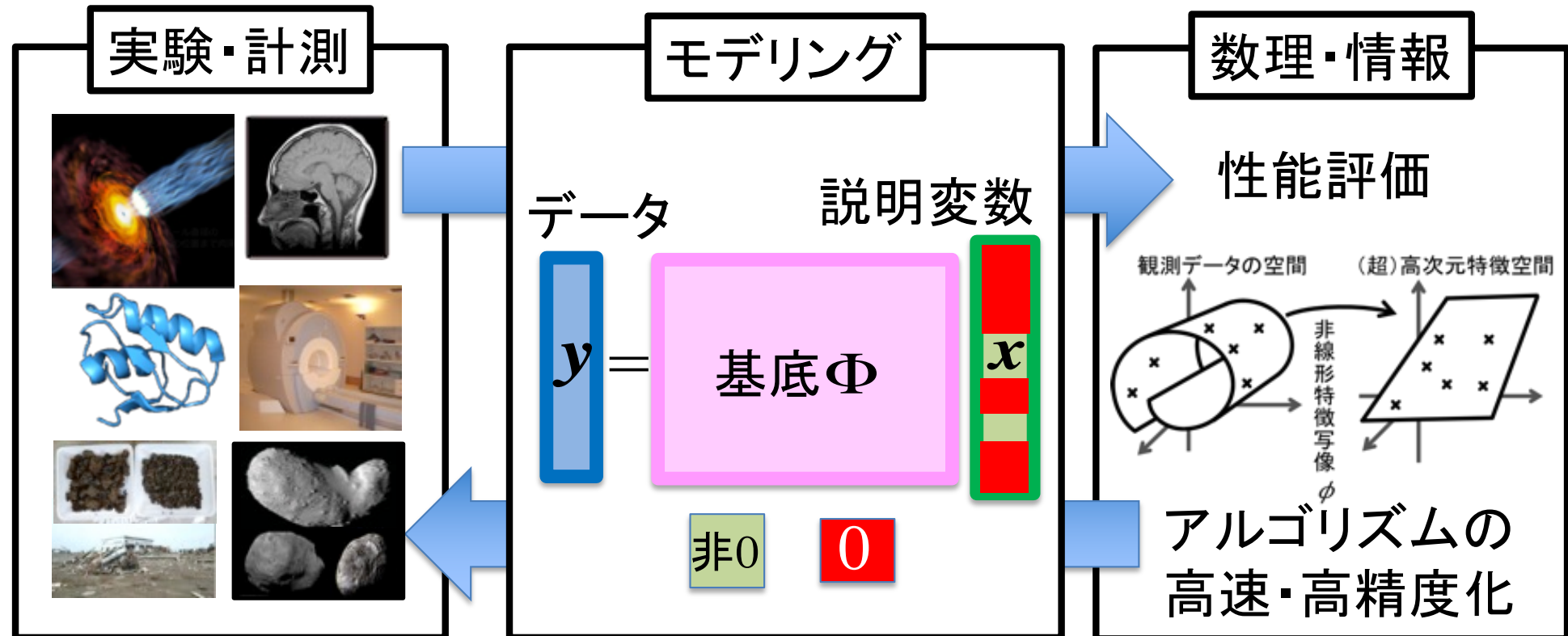
内容

- 自己紹介
- 計算論的視覚的脳科学
 - David Marrの三つのレベル
 - 運動知覚の統合のモデル
- 知覚媒質評価
 - データ駆動学の三つのレベル
- 新学術領域「スパースモデリングの深化と高次元データ駆動科学の創成」
- 地球データ駆動科学の展望

新学術領域研究 平成25～29年度 スパースモデリングの深化と高次元データ駆動科学の創成

領域代表岡田真人の個人的な狙い

世界を系統的に記述したい
その方法論と枠組みを創りたい
ヒトが世界を認識するとは?



新学術SpMの若手立役者

研究打ち合わせに同席することで、研究者の素養を見抜く力と、プロジェクト立案のノウハウをOJTで習得し、自らのキャリアアップに繋げる。



大森 敏明

神戸大 准教授

当時: 東大 助教



永田 賢二

NIMS 主任研究員

当時: 東大 特任研究員



桑谷 立

JAMSTEC GL

当時: 東大 特任研究員

地球データ駆動科学の今後展望

- MRFモデルを応用することで、地震波速度構造(V_p , V_s)から流体の分布(ϕ , α)を推定する枠組みを構築した。
 - フィルタ幅をデータのみから決定できる。(ハイパーパラメータ推定)
- 東北火山弧直下では岩石が数%部分融解.
- 第一原理だけでは取り扱えない地球科学には、データ駆動的なアプローチが必須である。
- データ駆動科学(ベイズ推定)は地球科学にとって非常に強力である.